

II-12 泥炭の剪断試験について

北大工學部土木教室 正員 真井耕象
○北郷繁

I 要旨

泥炭の剪断抵抗を Vane Shear Test によって測定した実験報告である。泥炭は甚だしい異方性を有しかつ極めて不均質であつてその程度も地域場所深度によつて非常な差異がある。このような特殊な材料の剪断機構には、一般の土についての概念をそのままあてはめるわけに行かないが、ここでは一応従来の試験方法によつて得られる剪断強さを以つて泥炭の力学的性質の一つと見做すことにする。本研究では、次項に述べるような方法によつて、泥炭の水平面及び垂直面での剪断抵抗を分離して測定することを第一の目的とし、これに関連した諸事項について検討することを二次的な目的とする。なお本研究は文部省科学研究費（昭和31年度）によつた。

II 剪断抵抗を分離測定する方法

図-1 に示すような Vane で C_1 と C_2 が一様に分布すると假定する時は

$$C_1 \frac{\pi D^3 H}{2} + C_2 \frac{\pi D^3}{8} = M \rightarrow 3\pi C_1 + C_2 = \frac{6M}{\pi D^3} = m \quad \dots \dots \dots (1)$$

で、 C_2 が回転中心で 0 で端である値になるよう直線的に変化する時は

$$C_1 \frac{\pi D^3 H}{2} + C_2 \frac{\pi D^3}{8} = M \rightarrow 4\pi C_1 + C_2 = \frac{8M}{\pi D^3} = m' \quad \dots \dots \dots (2)$$

であるから、 D をきめれば 2 式以上あればこの式はとけるわけである。

本研究で用いた丸及び D は表-1 のようである。 m, m' は D 及びレバーに加えた力 P を引数として数表にできる。我々は簡単のためこの式を圖式的にとした。すなわち (1) 式の場合について説明すると図-2において、ある D の $n=1$ のときの m を横軸 λ の所に、 $n=1.5$ の m を 4.5 の所に、2 の m を 6 にとる。之と他の D についても行い、その平均を夫々 A, B, C とし、 $\frac{BM}{MA} = \frac{BN}{NC} = 2$ になる点 M, N を結んで図のように C_1, C_2 を求める。(2) 式のときは横軸の m をとる位置が 4, 6, 8 になるだけで他は同じである。

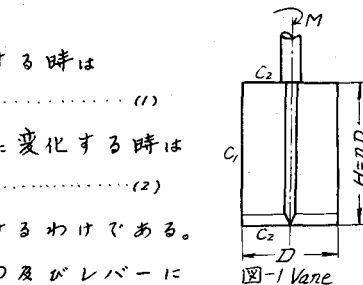


図-1 Vane

名稱	直徑 (cm)	高さ (cm)	n
8・1	8	8	1
“・2	”	12	1.5
“・3	”	16	2
10・1	10	10	1
“・2	”	15	1.5
“・3	”	20	2
12・1	12	12	1
“・2	”	18	1.5
“・3	”	24	2

表-1 Vane の寸法

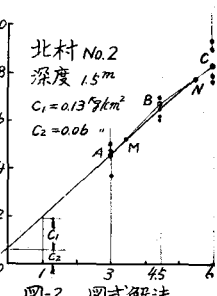


図-2 圖式解法

III 實驗

実験は札幌周辺の雅来、北村、豊幌の3地域、13地点において実施した。

1. Vane Shear Test

表-1 に示す羽根を互に 40cm の間隔をおいて 50cm の深さ毎に 2 回づつ、計 18 回測定した。トルクは $25\text{kg}(0.2\text{kgf}\cdot\text{m})$ の Spring Balance による。回転棒は 26mm の鋼棒で 1m づきとし、羽根の附近 50cm を除いては 1m づきのケーシングで保護した。測定深度は $3\sim 5\text{m}$ であつて、豊幌を除いて泥炭は分解の進んだ方に見られた。

2. 直接剪断試験 (一面剪断)

泥炭の直接剪断試験は原理的には土における場合と同じであるが、垂直荷重をかけな

いこと、剪断面の上下を接着するのに釘を使っていること、この様にして泥炭の自然状態を保たないようにした所が異なる。試料は $15 \times 15 \text{ cm}^2$ で、 50 cm 、 1 m の深度につき垂直(D_1)、水平(D_2)の二方向に分けて測定した。泥炭のセシウムの状態によっては剪断出来ない事があった。

3. 静的貫入試験

先端角 30° 、直径 $3, 4, 5, 6 \text{ cm}$ のコーンを泥炭中に静的に压入するに要する力を Pivoting Ring で 5 cm の深さ毎に測定した。貫入速度は約 2 cm/sec である。

IV 実験結果及び之に対する考察

1. 直接剪断試験(D_1, D_2)と Vane Test (C_1, C_2)との対比

両者の測定値について、二つの方向の剪断抵抗の比をとつてみると表-2のようであつて、垂直面での値は100に近くほど満足すべきものと見られる。水平面での値は、之に反して分散が大にすぎる。これは後述するように羽根の丸のとりかたによつて $C_2 (C'_2)$ の決定が不確実になり、このために C_2 / D_2 が分散するのであつて、本来は C_1 / D_1 同程度に分散すべきものと思われる。したがつて二つのニッの試験はほど相等しい値を与え、IIでのべた方法で剪断抵抗を測定できるものであることが分る。

2. C_1 と C_2 の比率

今回の測定結果を D_1 / D_2 、 C_1 / C_2 と並記してみると表-3のようである。過去の測定結果によると D_1 / D_2 は大体2であるから、今回の D_1 / D_2 及び Vane による C_1 / C_2 はよく一致していることが分り、概算的に $C_1 / C_2 = 2$ として差支えないものと思われる。この値は、 $n=2$ 位の普通の Vane の一面の測定により、 $C_1 = C_2$ として計算される値 C_0 が分ると、 $C_1 = C_0$ であるから、これから直に $C_2 = C_0 / 2$ として C_2 の近似値を得るのに便利である。 $C_0 = (3n+1)/(3n+\frac{1}{2})$ で $n=2$ のとき $C_1 = 1.08 C_0$ だから $C_1 = C_0$ としてよい。

3. Vane の寸法(主として直径について)

実験に使つた Vane の直径は表-1のようである。各直径による m の分散をみるとために、 $\%D = n$ に無関係に推差を計算したのが表-4である。これを表-4 $D \times$ 推差みると直径が大きいほど分散が小さく、 10 cm と 12 cm の差は 10 cm と 8 cm の差より小さいことが分る。泥炭の不均質性から考えてその地盤の夫々の深さにおける平均値的な値を得るためにには、他の条件が許すかぎり D は大きいほどよいことが言える。

4. C_2 について(C'_2 も同様)

C_2 は豊幌のように C_1 が非常に小さい時、即ち P の小さい時に負号をとることがあつた。之はトルクの測定精度との値に関係するものであつて、本測定法の改良すべき点である。前者については問題ない。後者の丸は原理的にはニッあればよいので、その一つを P の測定限度としらみ合わせてなるべく図-2の原点に近づけ他の一つはこれからだけ遠くなるように大きくすればよい。

5. 贯入抵抗と C_1 の関係

図-3はコーンの径 5 cm の場合で今は直径についての圧力強度である。大体 $C_1 = 0.1 P$ のようにみられる。

垂直 C_1 / D_1 (%)	水平 C_2 / D_2 (%)	
	C'_2 / D_2 (%)	C_2' / D_2 (%)
上限	131	163
下限	70	22
平均	93	75
	105	

D_1 / D_2	C_1 / C_2	
	C_1 / C_2	C'_1 / C'_2
上限	2.2	2.3
下限	1.3	1.3
平均	1.8	1.9
	1.6	

$D \times$	m		
	8 cm	10 cm	12 cm
推差	0.067	0.059	0.056
重み	10	13	14

